

## II-40 富山県宮崎漁港の漂砂に関する研究 (2)

— 来襲波浪と港内の埋没について —

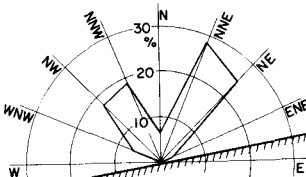
京大防災研 正会員 土屋 義人、山口 正隆、芝野 照夫

関大工学部 正会員 井上 雅夫、菊岡 敏

1. 緒言 宮崎漁港は富山県の東端に位置し、富山・新潟両県の県境を河口とする境川より西方約6kmのところにある。この付近の海岸の主な漂砂源はこの境川であるが、代表的な砂利海岸と形成している。この漁港の西海岸は底質も比較的細かく、一部には岩盤が露出しているところもあるが、侵食の激しい下新川海岸へと接続している。最近この漁港が季節風時の波浪によつてしばしば埋没し、漁港の維持が問題になつてゐるが、富山県と協力して若干の調査を実施してゐた。その実態については、すでに報告したが、要するに冬期の波浪によつて港口よりまたは東防波堤の越波とともに港内に漂砂が侵入し、没埋量も数千m<sup>3</sup>にも及んでいた。本調査は1968年より実施してから、1968年、1969年にそれぞれ3,860m<sup>3</sup>および5,940m<sup>3</sup>埋没しておらず、富山県は1969年後期に東防波堤をかさ上げして越波の防止をはかつた。その後、1970年にはいわゆる1月低気圧の宮波浪の来襲をうけ、6,300m<sup>3</sup>埋没した。この研究では、以上の調査結果に基づいて、港内埋没の詳細とくに波浪と埋没量との関係を検討して、埋没に及ぼす東防波堤のかさ上げの効果について考慮してみたい。

2. 波浪の一般的特性と埋没 図-1は1969年にかけた埋没時の港内の堆積状況を示したものである。堆積した漂砂の粒径は10cm以上に及ぶものが多く存在するが、これには港口より侵入するものと東防波堤の越波とともに侵入するものとのあつて、防波堤上に砂利が散在することもしばしばある。漂砂の侵入経路としてこれら2つともりが考えられるかどうかについて検討するためには、下新川海岸での波浪観測の結果を利用し

2. 波浪の特性について考む。図-2は1964年より1968年までの5年間、1日2回の波浪観測によつてえられた波高別波向の建設省による観測結果とともに



にして、来襲波浪のエネルギー分布を求めたものである。これとみると、主な方向はNNWおよびNNE～NEであつて、この2方向に卓越している。この結果では後者の方がかなり大きい。一方、図-3は季節風時の波浪特性の変化を示したものの一例であるが、多くの場合季節風の初期においてはNNW方向の波向( $2\theta_w$ )が卓越し、その後NNE、NEまたはENE方向に変わることである。以上のことをから推察すると、漁港の埋没時には波浪がNW方向からNE方向に変わり、東防波堤が越波するようになると比較的多く埋没したといふ漁民のいとばを裏付けらことがでます。この漁港の東海岸では図-2に示したような波浪エネルギーに対応した沿岸流を生ずるから、沿岸漂砂量、卓越方向もE～Wまでは

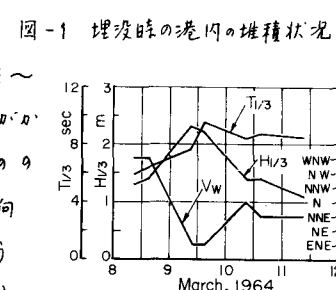
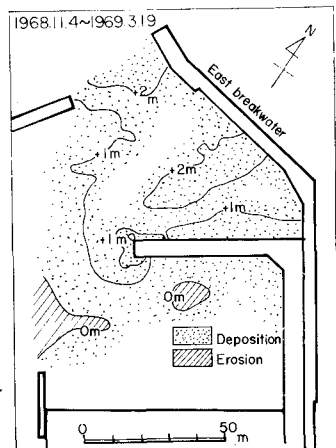


図-3 波浪特性の変化

W~E 方向に変化するが、平均的には E~W 方向である。2、漁港が漂砂の下手側に位置していると考えられる。

3. 埋没量と波浪との関係 下新川海岸での波浪観測の結果をもとにした、漁港付近の波浪を推定し、埋没量と波浪との関係を検討する。この場合、埋没時に波浪記録がない場合には、約 100 km 離れた直江津港の波浪特性との相関を用いて推定することとした。このようにして求められた冲波を用いて東防波堤に来襲する波浪を推定し、これと埋没量との関係を求める。まず、図-4 は一例として漁港付近の屈折図を示し、かつ碎波線を示したものである。この屈折図を用いて N または NE 方向よりの波の碎波後の変形と中村らの実験結果を用いて推定し、東防波堤に沿う侵入波の波高分布を計算した結果が図-5 である。同様な計算を西防波堤について行なった結果によると、港口付近の水深の大きい場所を除いて、防波堤に沿う侵入波高はほとんど一定となり 2.7 m ~ 3.3 m 程度となることがわかった。これらの結果から、この漁港では港口付近の水深が大きく、かつ沿岸の傾向にあるので、この付近には約 5 m に及ぶ波浪が侵入する可能性があり、これが港口よりの漂砂の侵入をもたらすものと考えられる。一方、東防波堤に沿う場合は、約 3 ~ 4 m 程度の波浪が来襲するが、越波に関する検討の結果によると、沖波波高が約 2.5 m 以上になると越波量が急増することがわかつたので、この場合にはかなりの越波を生ずるものと考えられる。

いま、東防波堤の越波を主体とし、港口より約 10 m のところの侵入波高と各埋没時の推定波浪から求め、その波のエネルギーの総和でもって埋没量との関係をあらわすことにする。図-6 は埋没時の波浪特性から以上の方針を用いて推定した防波堤前面の侵入波高とその自乗をあらわしたものであるが、これが図-6 波のエネルギーの算出から沖波波高 2.5 m 以上についての総エネルギー  $\sum H^2 \Delta t$  を求め、これまでの 3 回の埋没量の実測値と比較したもののが図-7 である。わずか 3 回しか実測値がないので、明確なことはわからぬが、防波堤のかさ上げ前の埋没量は波の総エネルギーに比例する関係としてあらわされるが、かさ上げ後の埋没量の値は、1970 年 1 月付気圧と名づけられた異常波浪であったにもかからず、かなり小さい値として図示される。このことから想像すれば、埋没防止に対して東防波堤のかさ上げはかなりの効果があったと考えてよいであろう。なお、現在は富山県の東防波堤基部に透湿性の奥堤を設置しており、東防波堤の先端は既に強化されはじめていることをつけ加えておきたい。

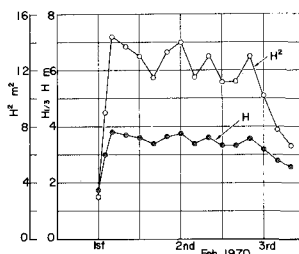
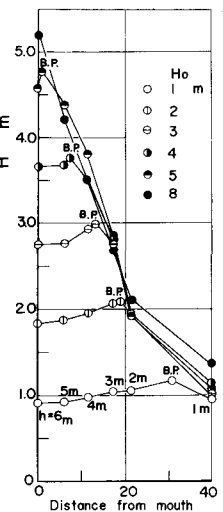
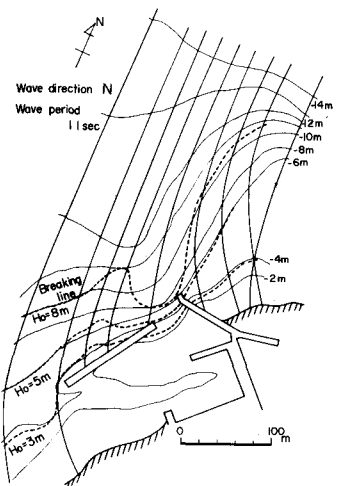


図-5 防波堤付近の  
波の特性

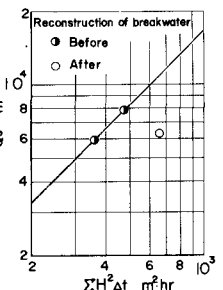


図-7 埋没量と波の  
エネルギーとの関係